

信州大学 工学部 正員 吉田 俊 彦
 信州大学 工学部 正員 〇三 井 康 司

1. はじめに

最近土木建築構造物において、種種の条件から曲線ばりを使用する場合が多くなつてきており、不
 静定構造物となる程、等断面より変断面を用いる場合の方が経済的であると思われる。また断面変化
 し区間ごとに等断面としたり、一樣変化の断面を使用しても解析上の便宜から、安全側に見込んで断
 面を代表断面として計算する場合が多いように見受けられる。しかし実際の断面変化にそつてより徹
 密に計算するのが望ましいことになり、筆者らはつぎのよつな解析方法を試みてゐるので報告する。

2. 計算概要

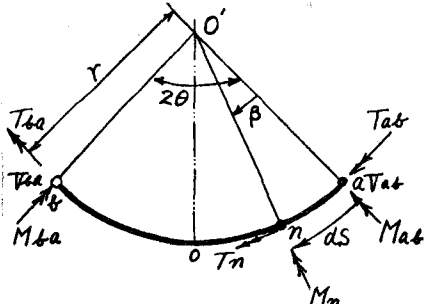
解析方法は通常の直線部材に適用するバネ角式を變断面円弧部材にも用いられるよつ(誘導)の
 のが考えやすい。すなわち図-1において任意点 n における曲げモーメント M_n , ねじりモーメント
 T_n は式(1)のよつになる。

$$\left. \begin{aligned} M_n &= M_{ab} \cdot \cos \beta - T_{ab} \cdot \sin \beta + V_{ab} \cdot r \cos \beta \\ T_n &= M_{ab} \cdot \sin \beta + T_{ab} \cdot \cos \beta + V_{ab} \cdot r (1 - \cos \beta) \end{aligned} \right\} (1)$$

ここに M_{ab}, T_{ab}, V_{ab} はおのおのの ab 部材の a 端側の
 曲げモーメント, ねじりモーメント, せん断力を示す。符
 号は図-1に示すものよつとす。

M_n と T_n とによつた仕事量 W は

$$W = \frac{1}{2E} \int \frac{M_n^2}{I} ds + \frac{1}{2G} \int \frac{T_n^2}{J} ds \quad (2)$$



図中の矢印の方向を正とする。
 V_{ab} は紙面に垂直下向きを正とする。

図-1

$\theta_a, \phi_a, \delta_a$ などを a 端のバネ角, ねじり角, 変
 位とし, O 点での釣り合いから M_{ab}, T_{ab}, V_{ab} の
 W を表すと式(3)が成り立つ。

$$W = M_{ab} (\theta_a - \cos 2\theta \cdot \theta_b - r \sin 2\theta \cdot \phi_b) + T_{ab} (\phi_a + \sin 2\theta \cdot \theta_b - \cos 2\theta \cdot \phi_b) + V_{ab} (\delta_a - \delta_b - r \sin 2\theta \cdot \theta_b - 2r \sin^2 \theta \cdot \phi_b) \quad (3)$$

一方 Castigliano の定理より $\theta_a = \partial W / \partial M_{ab}$, $\phi_a = \partial W / \partial T_{ab}$, などとなるから式(2), (3)より
 M_{ab}, T_{ab}, V_{ab} は式(4)のよつになる。すなわち

$$\begin{bmatrix} M_{ab} \\ T_{ab} \\ rV_{ab} \end{bmatrix} = B^{-1} A \{ \theta_a \ \theta_b \ \phi_a \ \phi_b \ \delta_a \ \delta_b \} \quad (4) \quad \text{ここに } B, A \text{ は式(5), (6)であり, } M = G/E \text{ である。}$$

$$A = \begin{bmatrix} 1 & \cos 2\theta & 0 & \sin 2\theta & 0 & 0 \\ 0 & \sin 2\theta & 1 & \cos 2\theta & 0 & 0 \\ 0 & r \sin 2\theta & 0 & 2r \sin^2 \theta & 1 & -1 \end{bmatrix} \quad (5)$$

$$B = \begin{bmatrix} \mu l_{mm} + g_{mm} & \mu l_{mt} + g_{mt} & \mu l_{mv} + g_{mv} \\ \mu l_{tm} + g_{tm} & \mu l_{tt} + g_{tt} & \mu l_{tv} + g_{tv} \\ \mu l_{vm} + g_{vm} & \mu l_{vt} + g_{vt} & \mu l_{vv} + g_{vv} \end{bmatrix} \quad (6)$$

式(6)中において、たとえは $e_{mm} = \int \frac{\cos^2 \beta}{I(\beta)} ds$ (7), $g_{tm} = \int \frac{\sin \beta \cos \beta}{J(\beta)} ds$ (8) などとなる。
 変断面部材であるので $I(\beta)$, $J(\beta)$ が β の関数となり、具体的には式(9), (10) で示される。

$I_n(\beta) = \{1 + \eta(\beta/2\theta)^m\} IA$ (10), ただし $h_A = n \cdot h_B$, $\eta = n - 1$, IA は A 端での断面二次モーメントを示す。同様に、

$$J_n(\beta) = 2t(h_A \cdot b)^2 \{1 + \eta(\beta/2\theta)^m\} \div [h_A \{1 + \eta(\beta/2\theta)^m\} + b] \quad (11)$$

式(10), (11) において断面が1次, 2次, 3次関数で変化する場合は, $m=1, 2, 3$ とすればよく実際の計算は計算機で近似計算される。図-2は $2\theta=30^\circ, 60^\circ$ の場合の T_{ab} の θ_a の係数値である。

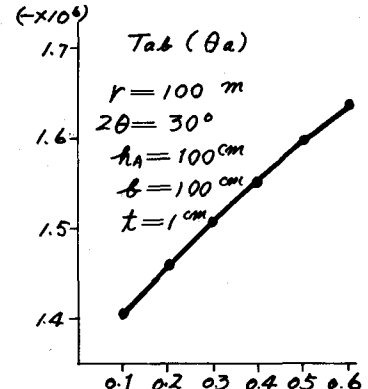
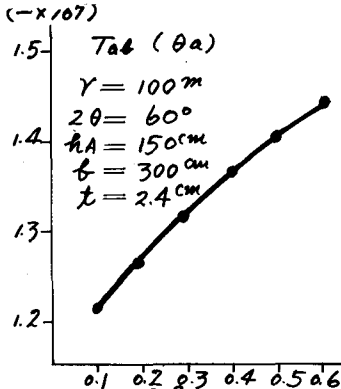
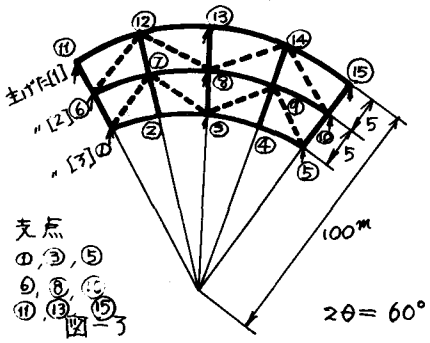


図-2 $B \cdot A \sim \theta$ 曲線

3. 計算例

図-3に示す構造物は、円弧の3本主げに横げに剛接された場合の骨組であり、断面変化の様子は表-1に示す。表-1より円弧部材の端モーメントが



	格点	h_a (cm)	n	$\theta a(10^\circ)$	$\theta b(10^\circ)$	$\phi a(10^\circ)$	$\phi b(10^\circ)$
主 1' [1]	②	120	1.2	2.8172	1.6326	-1.7133	1.5403
	③	144	1.2	4.2736	2.4790	-2.5997	2.3745
	④	120	0.8	4.8057	2.0607	-3.3962	-2.1683
	⑤	100	0.8	3.1493	1.3491	-2.2283	-1.4131
主 1' [2]	⑦	120	1.2	2.8172	1.6326	-1.7133	1.5403
	⑧	144	1.2	4.2736	2.4790	-2.5997	2.3745
	⑨	120	0.8	4.8057	2.0607	-3.3962	-2.1683
	⑩	100	0.8	3.1493	1.3491	-2.2283	-1.4131
主 1' [3]	②	120	1.2	2.8172	1.6326	-1.7133	1.5403
	③	144	1.2	4.2736	2.4790	-2.5997	2.3745
	④	120	0.8	4.8057	2.0607	-3.3962	-2.1683
	⑤	100	0.8	3.1493	1.3491	-2.2283	-1.4131

変形量で表わされ、通常の弾性方程式を作り、連立方程式を解くことで未知量が決定される。主げた両線が放物線, \sin 曲線の場合も、式(1), (3) を変えることにより計算は同様に進められる。

4. おわりに

断面はボックス(幅 $b=100$ cm, 厚さ $d=1$ cm)

以上の手順で変断面円弧はりを含む骨組

表-1

構造の解析も比較的簡単に機械的に計算できるが弾性方程式の作成が煩雑となり、計算機を使用するに際して少々工夫してかたので当日報告する。

参考文献: 山本 宏, 円弧部材を有する平面構造物に対するモーメント分配法, 土木学会論文集, 174号 渡辺昇, 曲線げたの理論と計算, 技報堂, 1967, 吉田, 三井, 変断面円弧はりを用いた橋床の剛性について, 土木学会年次学術講演会, 1971